



برآورد تبخیر و تعرق با استفاده از سنجش از دور، شبکه‌های عصبی مصنوعی و مقایسه نتایج آن با روش پنمن- مانثیت- فائو در باغات مرکبات شمال خوزستان

عزیز عظیمی^{۱*}، کاظم رنگزون^۲، مصطفی کابلی‌زاده^۳، محمد خرمیان^۴

۱. دانشجوی کارشناسی ارشد سنجش از دور و سیستم اطلاعات جغرافیایی، دانشگاه شهید چمران اهواز
۲. دانشیار دانشکده علوم زمین، دانشگاه شهید چمران اهواز
۳. استادیار دانشکده علوم زمین، دانشگاه شهید چمران اهواز
۴. دکتری آبیاری و زهکشی، مرکز تحقیقات کشاورزی صفوی آباد دزفول

مشخصات مقاله

چکیده

پیشینه مقاله:
دریافت: ۲۵ آبان ۱۳۹۳
پذیرش: ۳۰ خرداد ۱۳۹۴
دسترسی اینترنتی: ۲۶ دی ۱۳۹۴

واژه‌های کلیدی:
تبخیر و تعرق
سنجدش از دور
الگوریتم سیال
شبکه‌های عصبی مصنوعی
معادله پنمن- مانثیت- فائو

تبخیر و تعرق یکی از مهم‌ترین عوامل اتلاف آب می‌باشد. تبخیر و تعرق یک پدیده پیچیده‌ای است که به عوامل و داده‌های زیادی بستگی دارد، بنابراین برآورد دقیق میزان تبخیر و تعرق، بسیار مشکل و پرهزینه می‌باشد. هدف از این مطالعه برآورد تبخیر و تعرق با استفاده از الگوریتم توازن انرژی سطحی برای زمین (سیال) و همچنین ارزیابی عملکرد شبکه‌های عصبی مصنوعی در برآورد تبخیر و تعرق می‌باشد. جهت محاسبه میزان سیال تبخیر و تعرق، روش الگوریتم سیال به وسیله تصاویر ماهواره‌ای مورد استفاده قرار گردید. در این تحقیق از چهار تصویر لندست ۸ استفاده شد که مقایسه نتایج به دست آمده از دو روش، سنجش از دور و معادله پنمن- مانثیت- فائو، نشان می‌دهد که میانگین مربعات خطای (MSE) $1/۰۵۴$ و میانگین خطای مطلق (MAE) $1/۰۴$ میلی‌متر در روز می‌باشد. برای حل پیچیدگی فرآیند تبخیر، از شبکه‌های عصبی مصنوعی برای پیش‌بینی تبخیر از تشت بر اساس داده‌های هواشناسی استفاده گردید. در این تحقیق شبکه پرسپترون با الگوریتم پس انتشار خطای برای آموزش آن استفاده شد. برای آموزش شبکه از داده‌های اقلیمی روزانه ۱۳ ساله ایستگاه صفوی‌آباد دزفول استفاده شد. نتایج حاصل از محاسبات نشان داد بهترین شبکه، شبکه‌ای با همه وروودی‌ها، با یک لایه پنهان و ۲۸ نرون در لایه میانی می‌باشد. نتایج پیاده‌سازی این شبکه نشان‌دهنده، شاخص‌های آماری معیارهای میانگین مربعات خطای (MSE) $۰/۰۰۳۲$ ، میانگین خطای مطلق (MAE) $۰/۰۴۴۵$ و ضریب تبیین (R^2) $۰/۹۶۰۹$ می‌باشد. مقایسه نتایج به دست آمده از روش شبکه‌های عصبی مصنوعی با روش پنمن- مانثیت- فائو نشان می‌دهد که میانگین مربعات خطای (MSE) $۱/۱۱$ و میانگین خطای مطلق (MAE) $۰/۵۲$ میلی‌متر در روز می‌باشد. این نتایج، بیانگر عملکرد بهتر شبکه‌های عصبی مصنوعی نسبت به روش سنجش از دور در برآورد میزان تبخیر و تعرق می‌باشد.

* پست الکترونیکی مسئول مکاتبات: fdai5050@gmail.com

مقدمه

برآورد تبخیر و تعرق از روش سبال در شهرستان کرمان، نتایج به دست آمده از مدل سبال با مقادیر لایسمتری اندازه‌گیری شده را مقایسه کردند و دریافتند متوسط خطای نسبی در مورد تبخیر و تعرق روزانه 6.6% و در مورد تبخیر و تعرق ساعتی 4.2% می‌باشد. اینی بازیابی و همکاران (۳) به ارزیابی الگوریتم سبال در برآورد تبخیر تعرق با استفاده از تصاویر ماهواره لندست ۵ در منطقه مطالعاتی دشت همدان بهار واقع در استان همدان و مقایسه آن با روش پنمن مانیث پرداختند. نتایج این تحقیق نشان داد که الگوریتم سبال با ضریب همبستگی 0.96 ، ریشه میانگین مربعات خطای RMSE 0.31 و میانگین خطای مطلق (MAE) 0.26 از دقت قابل قبولی برخوردار است.

جهت انجام تحقیق، از تصاویر ماهواره لندست ۸ قابل دسترس در تاریخ‌های ۱۴ سپتامبر ۲۰۱۳ (۲۲ شهریور ۱۳۹۲)، ۱۶ اکتبر ۲۰۱۳ (۲۴ مهر ۱۳۹۲)، ۲۰ ژانویه ۲۰۱۴ (۳۰ دی ۱۳۹۲) و ۲۸ می ۲۰۱۴ (۷ خرداد ۱۳۹۳) قابل دانلود در سایت سازمان ملی زمین‌شناسی آمریکا استفاده گردید. علت انتخاب تصاویر ماهواره‌ای مورد اشاره علاوه بر رایگان بودن، قدرت تفکیک مکانی بالاتر نسبت به سنجنده مودیس و همچنین وجود آسمانی صاف و بدون ابر در منطقه در تاریخ‌های مذکور می‌باشد. برای محاسبه تبخیر و تعرق با استفاده از شبکه‌های عصبی مصنوعی و به روش پنمن-مانیث-فائق از آمار موجود در ایستگاه هواشناسی صفحی آباد دزفول شامل حداقل و حداکثر دما، حداقل و حداکثر رطوبت، ساعت آفتابی، حداکثر سرعت باد و میزان تبخیر از تشت به صورت روزانه استفاده شد.

مواد و روش‌ها

منطقه مورد مطالعه

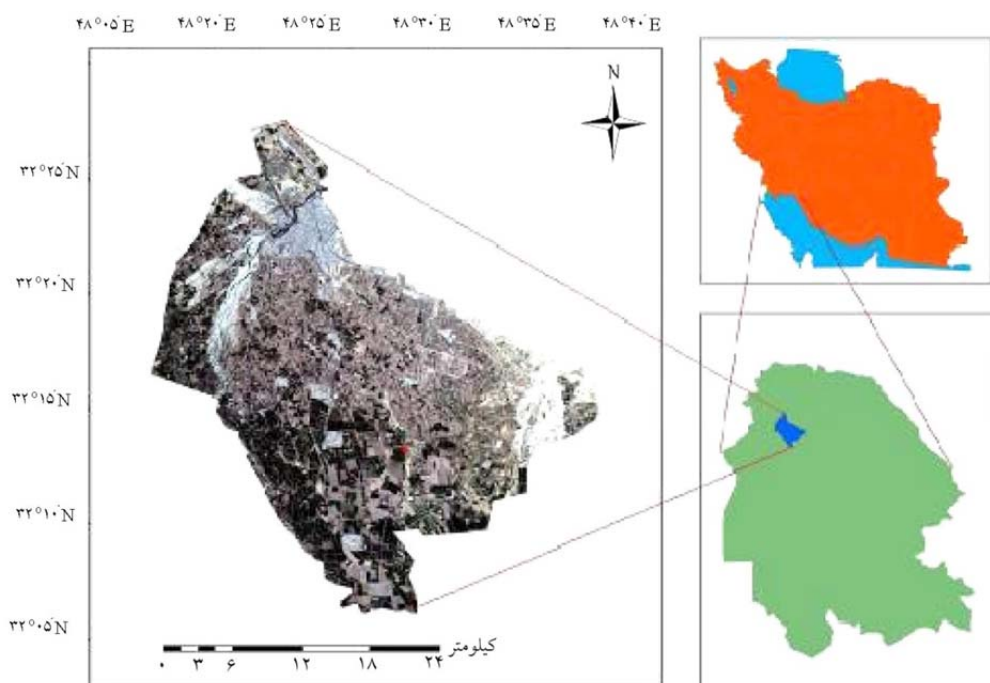
محدوده مورد مطالعه با مساحت 62126 هکتار، در ناحیه جلگه‌ای شهرستان دزفول که در ابتدای دشت وسیع و حاصل خیز خوزستان در حد فاصل طول شرقی $39^{\circ} 48^{\prime}$ تا $40^{\circ} 06'$ عرض شمالی $28^{\circ} 32^{\prime}$ تا $28^{\circ} 48'$ واقع شده

ترکیب دو فرآیند جداگانه از دست رفتن آب از سطح خاک و آب‌های آزاد به صورت تبخیر و از گیاه به صورت تعرق، را تبخیر و تعرق می‌نامند. بیشتر مساحت ایران را مناطق خشک و نیمه‌خشک تشکیل می‌دهد. از طرفی میزان متوسط بارندگی در ایران حدود یک سوم متوسط بارندگی جهانی می‌باشد. این عوامل، اهمیت و ضرورت استفاده بهینه از آب در همه زمینه‌ها به خصوص بخش کشاورزی (که بیشترین مصرف آب را دارد) را نشان می‌دهد (۱ و ۹). افزایش جمعیت و کمبود منابع آب در سال‌های اخیر، بخش کشاورزی را با چالش‌های عمده‌ای در جهت تأمین نیازهای غذایی مردم و نیل به خودکفایی روبرو ساخته است (۲ و ۱۲). از این رو محاسبه مقادیر تبخیر و تعرق به منظور انجام محاسبات و برنامه‌ریزی‌های مربوط به نیاز آبی محصولات کشاورزی از اهمیت بالایی برخوردار است (۴ و ۱۱). تحقیقات انجام گرفته در نقاط مختلف جهان میان این نکته است که دقت مقادیر تبخیر و تعرق برآورد شده با رابطه پنمن-مانیث-فائق در مقایسه با مقادیر اندازه‌گیری شده لایسمتر از دیگر روابط برآورد ET₀ بهتر می‌باشد و در شرایطی که داده‌های لایسمتری در دسترس نباشد، به عنوان یک رابطه استاندارد توصیه شده است (۲ و ۲۲). لذا با توجه به عدم وجود داده‌های لایسمتری در منطقه، به منظور ارزیابی الگوریتم سبال، مقادیر تبخیر و تعرق محاسبه شده از طریق روش‌های فوق با مقادیر حاصل از روش پنمن-مانیث-فائق مقایسه خواهد شد.

در زمینه برآورد تبخیر و تعرق با استفاده از الگوریتم سبال تحقیقات بسیاری در ایران و جهان انجام گرفته است. محسنی ساروی و همکاران (۱۴) به منظور بررسی کارایی مدل سبال در محاسبه تبخیر و تعرق مناطق کوهستانی با استفاده از ماهواره مودیس، تبخیر و تعرق در حوزه آبخیز طالقان در ۲۲ روز در سال ۲۰۰۶ را مورد بررسی قرار دادند. نتایج حاصل از مدل سبال با مقادیر اندازه‌گیری شده توسط لایسمتر نشان داد که مقادیر برآورده و اندازه‌گیری شده از همبستگی بالا (۰.۸۸) برخوردار می‌باشند. حسنپور و همکاران (۶) با

آمار روزانه موجود در ایستگاه هواشناسی صفائی آباد دزفول طول جغرافیایی $59^{\circ} 25' 48''$ و عرض جغرافیایی $12^{\circ} 15' 15''$ و $32^{\circ} 08' 82''$ متر ارتفاع از سطح دریا) استفاده شده است.

است (شکل ۱). منطقه مورد مطالعه قسمتی از زیر حوزه دز بوده، و شامل مزارع و باغات بزرگ شرکت کشت و صنعت شهید رجایی و شرکت کشت و صنعت شهید بهشتی می‌باشد. برای محاسبه تبخیر و تعریق به روش پنمن-مانتیث-فائق از



شکل ۱. موقعیت منطقه مورد مطالعه

تصاویر ماهواره‌ای و حداقل داده‌های زمینی مورد نیاز و بر اساس معادله توازن انرژی محاسبه می‌نماید. از آنجا که تصاویر ماهواره‌ای تنها می‌توانند اطلاعاتی در زمان گذر ماهواره ارائه دهند، لذا سبال می‌توانند مقدار شار تبخیر و تعریق لحظه‌ای را در زمان تصویر، برآورد نمایند. شار تبخیر و تعریق برای هر پیکسل تصویر، به صورت باقیمانده توازن انرژی سطح می‌باشد.

$$\lambda ET = R_n - G - H \quad [1]$$

در این رابطه؛ λET شار گرمای نهان (انرژی که برای تبخیر آب به کار می‌رود)، R_n تابش خالص در سطح زمین، G شار گرمای خاک و H شار گرمای محسوس می‌باشند. تمامی

نرم افزارهای مورد استفاده

در این مطالعه از نرم افزار ENVI® 4.8 برای پردازش تصویری و آماده‌سازی تصاویر ERDAS® 9.1 برای اجرای الگوریتم سبال، نرم افزار REF-ET برای محاسبه تبخیر و تعریق گیاه مرجع، نرم افزار MatLab برای محاسبه تبخیر و تعریق با استفاده از شبکه‌های عصبی مصنوعی و نرم افزار ArcGIS® 10 برای برش زدن مرز حوزه و ارائه نقشه لایه‌ها استفاده گردیده است.

روش تحقیق

الگوریتم توازن انرژی سطحی برای زمین (سبال) مدل سبال میزان تبخیر و تعریق واقعی را با استفاده از

$$R_{L\uparrow} = \epsilon_0 \times \sigma \times T_s^4 \quad [5]$$

در این رابطه؛ ϵ_0 گسیلنندگی سطحی عریض باند، σ ثابت استفان-بولتزمن (5.67×10^{-8} وات بر متر مربع بر توان چهارم کلوین) و T_s دمای سطحی (کلوین) است.

شار گرمای خاک (G)

شار گرمای خاک، میزان انتقال گرما در خاک و پوشش گیاهی در اثر هدایت مولکولی است. در مدل سیال G را از نسبت G/R_n ارائه شده توسط باستیانسن و همکاران (۲۰)، از رابطه ۶ تعیین گردید.

$$\frac{G}{R} = \frac{T_s}{\alpha} \times \left(0.0032 \times \alpha + 0.0062 \times \alpha^2 \right) \times \left(1 - 0.978 \times NDVI^4 \right) \quad [6]$$

در این رابطه؛ T_s دمای سطحی بر حسب درجه سانتیگراد، شاخص تفاضل نرمال شده پوشش گیاهی NDVI (که با استفاده از رابطه ۷ محاسبه گردید) و α آلییدی سطحی میباشد (۱۰).

$$NDVI = \frac{\rho_{NIR} - \rho_R}{\rho_{NIR} + \rho_R} \quad [7]$$

در این رابطه؛ ρ_R انعکاس در باند قرمز و ρ_{NIR} انعکاس در باند مادون قرمز نزدیک میباشند. این شاخص در حقیقت نشان دهنده تراکم پوشش گیاهی است و هر قدر پوشش گیاهی متراکمتر باشد مقدار آن بیشتر است. مقدار تغییرات NDVI بین ۱ و -۱ میباشد. سطوح دارای پوشش گیاهی دارای NDVI بین صفر و یک و همچنین آب و ابر معمولاً دارای NDVI کمتر از صفر هستند (۱۸). چنانچه مقدار NDVI کمتر از صفر باشد، سطح مذکور آب تلقی شده و نسبت G/R_n برای آن برابر با $0/5$ در نظر گرفته میشود. مناطق دارای مقدار T_s کمتر از $40^\circ C$ و α بیشتر از 45° باشد، مناطق پوشیده از برف فرض میشوند و نسبت G/R_n برای این مناطق نیز $0/5$ لحاظ میگردد (۱۸).

پارامترها بر حسب وات بر متر مربع هستند (۱۳).

تابش خالص (R_n)

تابش خالص عبارت است از اختلاف جریان تابش خروجی و ورودی بوده و معیاری از مقدار انرژی موجود در سطح زمین به شمار میرود. میزان تابش خالص و اجزای آن در سطح زمین از رابطه ۲ تعیین گردید (۶).

$$R_n = (1-\alpha)R_{s\downarrow} + R_{L\downarrow} - R_{L\uparrow} - (1-\epsilon_0)R_{L\downarrow} \quad [2]$$

در این رابطه؛ $R_{s\downarrow}$ تابش طول موج کوتاه ورودی (وات بر متر مربع)، $R_{L\downarrow}$ تابش طول موج بلند ورودی (وات بر متر مربع)، $R_{L\uparrow}$ تابش طول موج بلند خروجی (وات بر متر مربع)، α ضریب آلییدی سطحی و ϵ_0 ضریب انتشار سطحی میباشد. تابش ورودی موج کوتاه ($R_{s\downarrow}$)، تابش خورشیدی مستقیم و پراکنده است که به زمین میرسد و مقدار آن برای زمان تصویر با فرض شرایط آسمان صاف، از رابطه ۳ محاسبه شد (۱۹).

$$R_{s\downarrow} = G_{sc} \times \cos \theta \times d_r \times \tau_{sw} \quad [3]$$

در این رابطه؛ G_{sc} ثابت خورشیدی برابر با 1367 وات بر متر مربع، d_r معکوس مربع فاصله نسبی بین زمین و خورشید و τ_{sw} ضریب شفافیت اتمسفر میباشد. تابش موج بلند ورودی ($R_{L\downarrow}$)، شار تابش حرارتی از جو به سمت پایین است که از رابطه ۴ تعیین گردید (۱۹).

$$R_{L\downarrow} = \epsilon_a \times \sigma \times T_a^4 \quad [4]$$

در این رابطه؛ ϵ_a گسیلنندگی جو، σ ثابت استفان-بولتزمن (5.67×10^{-8} وات بر متر مربع بر توان چهارم کلوین) و T_a دمای هوای نزدیک سطح (کلوین) است. تابش موج بلند خروجی ($R_{L\uparrow}$)، شار تابش حرارتی گسیل شده از سطح زمین به جو میباشد و با استفاده از رابطه استفان-بولتزمن محاسبه گردید (۱۹).

مقدادیر $ET_{r,F}$ لحظه‌ای دارند. سبال ET_{24} را با فرض اینکه، لحظه‌ای به صورت میانگین ۲۴ ساعته است (یعنی در طول ۲۴ ساعت تقریباً ثابت است) محاسبه می‌کند. ET_{24} را می‌توان از رابطه ۱۱ محاسبه کرد (۱۹).

$$ET_{24} = ET_{r,F} \times ET_{r-24} \quad [11]$$

در این رابطه؛ ET_{r-24} مجموع ET_r در طی ۲۴ ساعت برای همان روز تصویربرداری می‌باشد که با جمع کردن مقدادیر ساعتی r (ET_r) (محاسبه شده در نرمافزار REF-ET) با یکدیگر در روز گذر ماهواره تعیین گردید.

محاسبه تبخیر و تعرق با استفاده از شبکه‌های عصبی مصنوعی

مراحل ساخت یک مدل شبکه عصبی به منظور طبقه‌بندی یا پیش‌بینی شامل؛ جمع‌آوری مجموعه کافی از ورودی‌ها و خروجی‌های مورد نظر، نرمالیزه کردن داده‌ها در محدوده ۰ و ۱، تقسیم داده‌ها به سه مجموعه آموزشی، صحبت‌سنجدی، تست، تعیین نوع ساختار شبکه، تعداد لایه‌های مخفی، تعداد نرون‌ها،تابع انتقال و الگوریتم آموزشی، آموزش شبکه، تست شبکه (مقایسه خروجی‌های محاسبه شده با خروجی‌های واقعی)، محاسبه خطای مدل، تکرار مراحل فوق با تغییر گام ۴ تا رسیدن به شبکه‌ای با کمترین خطای می‌باشد. (۱۶). در این تحقیق از داده‌های حداقل و حداکثر دما و رطوبت، حداکثر سرعت باد روزانه و ساعات آفتابی به عنوان ورودی و از میزان تبخیر از تشت به عنوان خروجی برای اعمال به شبکه استفاده شد. برای نرمال‌سازی داده‌ها از روش ماکریم و مینیمم داده‌ها استفاده شد. در این روش بر اساس رابطه ۱۲ داده‌ها بین مقدادیر صفر و یک قرار می‌گیرند.

$$N = \frac{X_i - X_{\min}}{X_{\max} - X_{\min}} \quad [12]$$

در این رابطه؛ N مقدادیر نرمال شده، X_i مقدادیر واقعی، X_{\max} حداکثر مقدادیر واقعی، X_{\min} حداقل مقدادیر واقعی.

شار گرمای محسوس (H)

در روش سبال برای برآورد شار گرمای محسوس، ابتدا دو پیکسل شاخص انتخاب می‌شوند، یکی از این پیکسل‌ها که پیکسل سرد نامیده می‌شود مربوط به منطقه‌ای کاملاً پوشیده از گیاه و آبیاری شده می‌باشد که دمای سطح زمین در این پیکسل نزدیک به دمای هواست و تبخیر و تعرقی برابر با تبخیر و تعرق مرجع دارد. پیکسل دوم که پیکسل گرم نام دارد زمین کشاورزی بدون پوشش گیاهی و خشک می‌باشد. بنابراین مقدار شار گرمای نهان تبخیر در این پیکسل صفر فرض می‌شود (۵). در روش سبال طبق رابطه ۱ و بر اساس مقدادیر تبخیر و تعرق دو پیکسل مذکور، شار گرمای محسوس سایر پیکسل‌ها تخمین زده می‌شود. مقدار شار گرمای محسوس به صورت زیر محاسبه می‌گردد (۱۹).

$$H = \frac{\rho_{air} \times C_{air} \times dT}{r_{ah}} \quad [13]$$

در این رابطه؛ ρ_{air} چگالی هوا (کیلوگرم بر متر مکعب)، C_{air} گرمای ویژه هوا (ژول بر کیلوگرم بر کلوین)، dT اختلاف دمای بین دو ارتفاع z_1 و z_2 (کلوین) و r_{ah} مقاومت آیرودینامیکی برای انتقال گرما (ثانیه بر متر) می‌باشد. پس از آنکه مقدار شار گرمای محسوس بر اساس شرایط جوی تصحیح گردید. مقدار شار گرمای نهان تبخیر بر اساس رابطه ۱ برای هر پیکسل محاسبه می‌گردد و سپس با استفاده از رابطه ۹ تبخیر و تعرق لحظه‌ای (ET_{ins}) برآورد گردید (۱۹).

$$ET_{inst} = 3600 \times \frac{\lambda ET}{\lambda} \quad [14]$$

در این رابطه؛ λ گرمای نهان تبخیر بوده که از رابطه ۱۰ محاسبه می‌گردد.

$$\lambda = [2/50100/00236(T_s - 273)] \times 10^9 \quad [10]$$

برآورد تبخیر و تعرق روزانه غالباً مقدار روزانه ET_{24} ، (ET) کاربرد بیشتری نسبت به

$$MSE = \frac{\sum_{k=1}^K (X_k - Y_k)^2}{K} \quad [14]$$

$$MAE = \frac{\sum_{k=1}^K |X_k - Y_k|}{K} \quad [15]$$

در این رابطه‌ها، K تعداد داده‌ها، X_k مقادیر حاصل از روش پنمن-مانیت-فائز و Y_k مقادیر حاصل از الگوریتم سبال و یا شبکه‌های عصبی مصنوعی می‌باشد. این مقادیر هرچه به صفر نزدیکتر باشند به این معنی است که مقادیر دارای خطای کمتری نسبت به حالت استاندارد (روش پنمن-مانیت-فائز) می‌باشند (۸).

نتایج

استفاده از روش سبال

همان گونه که اشاره شد الگوریتم سبال از بخش‌های مختلفی تشکیل شده است. در این الگوریتم پارامترهایی مانند شاخص گیاهی NDVI، آلبیدوی سطحی و دمای سطحی محاسبه شدند. در جدول ۱ آمار مربوط به شاخص پوشش گیاهی تفاضلی نرمال شده تصاویر ماهواره‌ای ارائه شده است.

محاسبه تبخیر و تعرق به روش پنمن-مانیت-فائز

روش پنمن-مانیت-فائز یک روش ترکیبی برای تخمین تبخیر و تعرق پتانسیل می‌باشد. در این روش گیاه مرجع، گیاهی فرضی با ارتفاع ۱۲ سانتی‌متر، ضریب بازتاب ۰/۲۳٪ و مقاومت روزنه (در مقابل تعرق) ۷۰ ثانیه بر متر می‌باشد (۱۷). معادله پنمن-مانیت-فائز از رابطه ۱۳ تعیین گردید.

$$ET_0 = \frac{0.408\Delta(R_n - G) + \lambda \left(\frac{900}{T + 273} \right) (e_s - e_a) u_2}{\Delta + (1 + 0.34u_2)} \quad [13]$$

در این رابطه، ET_0 تبخیر و تعرق بالقوه گیاه مرجع ($mm per day$)، T ($^{\circ}C$)، U_2 سرعت باد در ارتفاع دو متری (ms^{-1})، R_n تابش خالص ($Mjm^{-2} day^{-1}$)، G ($Mjm^{-2} day^{-1}$)، e_s فشار بخار اشباع (kpa)، شار گرمای خاک ($Mjm^{-2} day^{-1}$)، e_a فشار بخار واقعی (kpa)، Δ شیب منحنی فشار بخار (KPa $^{\circ}C$) و λ ضریب ساکرومتری می‌باشد. پس از محاسبه میزان تبخیر و تعرق پتانسیل از رابطه ۱۳، نتیجه حاصله در ضریب گیاهی مربوطه (باغات مرکبات) ضرب شده تا میزان تبخیر و تعرق واقعی به دست آید. در نهایت به منظور ارزیابی و دقت روش‌های به کار برده شده در پیش‌بینی تبخیر و تعرق، از معیارهای میانگین مربعات خطأ (MSE) و میانگین خطای مطلق (MAE) استفاده شد.

جدول ۱. آمار مربوط به NDVI در منطقه

	تاریخ تصویر	حداکثر	حداقل	میانگین	مد	میانه
۲۰۱۳/۰۹/۱۴	۰/۸۰۹	-۰/۰۳۹	۰/۲۶۸	۰/۱۰۷	۰/۱۴۴	
۲۰۱۳/۱۰/۱۶	۰/۷۷۸	-۰/۰۵۶	۰/۲۷۰	۰/۱۱۱	۰/۱۶۸	
۲۰۱۴/۰۱/۲۰	۰/۸۵۰	-۰/۰۷۸۵	۰/۳۶۲	۰/۲۰۵	۰/۲۵۶	
۲۰۱۴/۰۵/۲۸	۰/۸۱۳	-۰/۰۶۱۷	۰/۲۸۲	۰/۱۳۱	۰/۱۸۲	

به کشت محصولات زمستانی در مزارع منطقه می‌باشد. در جدول ۲ نتایج مربوط به آلبیدو ارائه شده است.

همان گونه که در جدول ۱ مشاهده می‌شود بیشترین مقدار متوسط NDVI مربوط به تاریخ ۲۰۱۴/۰۱/۲۰ که مربوط

جدول ۲. آمار مربوط به آلبیدوی سطحی در منطقه

میانه	مد	میانگین	حداکثر	تاریخ تصویر	حداکل
۰/۳۴۵	۰/۳۲۲	۰/۲۶۸	۰/۰۵۴	۰/۶۳۵	۲۰۱۳/۰۹/۱۴
۰/۳۵۱	۰/۱۶۳	۰/۲۵۱	۰/۰۷۱	۰/۶۳۲	۲۰۱۳/۱۰/۱۶
۰/۳۳۱	۰/۱۸۶	۰/۱۸۸	۰/۰۴۴	۰/۶۱۹	۲۰۱۴/۰۱/۲۰
۰/۳۶۸	۰/۳۲۶	۰/۲۷۱	۰/۰۵۵	۰/۶۸۱	۲۰۱۴/۰۵/۲۸

نداشته است) و پوشش گیاهی بهتر منطقه نسبت به سایر روزها، مقدار متوسط آلبیدوی سطحی پایین‌تر می‌باشد. در جدول ۳ نتایج مقادیر مربوط به دمای سطحی زمین (برحسب درجه کلوین) آورده شده است.

بیشترین مقادیر آلبیدوی سطحی مربوط به زمین‌های بایر و کمترین مقدار آن مربوط به زمین‌های کشاورزی و رودخانه‌ها می‌باشد. در تاریخ ۲۰۱۴/۰۱/۲۰ به علت خیس بودن زمین (به دلیل بارندگی سنگین در روزهای قبل از تصویربرداری) (در سایر تاریخ‌ها زمین خشک و بارندگی قبل از آن‌ها وجود

جدول ۳. آمار مربوط به دمای سطحی در منطقه بر حسب درجه کلوین

میانه	مد	میانگین	حداکل	تاریخ تصویر	حداکثر
۳۲۱/۱۱	۳۲۳/۵۷	۳۱۷/۴۳۹	۳۰۳/۹۱	۳۲۸/۹۸	۲۰۱۳/۰۹/۱۴
۳۰۹/۱۳۹	۳۱۲/۸۱	۳۰۷/۵۹۱	۲۹۷/۵۷	۳۱۹/۱۲	۲۰۱۳/۱۰/۱۶
۲۸۸/۳۳	۲۸۸/۰۵۵	۲۸۸/۰۰۸	۲۷۸/۳۹	۲۹۲/۳	۲۰۱۴/۰۱/۲۰
۳۱۴/۸۸	۳۱۹/۶۳	۳۱۸/۷۰	۲۹۵/۸۸	۳۳۳/۸۸	۲۰۱۴/۰۵/۲۸

حداکل و حداکثر دما در تاریخ ۲۰۱۴/۰۱/۲۰ خیس بودن زمین می‌باشد که مانع از بالا رفتن دما در زمین‌های بایر در منطقه شده است. پس از محاسبه پارامترهای مقدماتی، با دنبال کردن الگوریتم سبال، به محاسبه پارامترهای اصلی پرداخته و پس از محاسبه ET_{24} و ET به کمک نرم‌افزار REF-ET، مقادیر تبخیر و تعریق منطقه به دست آمد.

مقادیر به دست آمده برای دمای سطحی، با روند افزایش و کاهش دمای هوا در منطقه مطابقت دارد. برای اطمینان از صحت نتایج، دمای به دست آمده با دمای اندازه‌گیری شده در عمق ۵ سانتی‌متری خاک در ایستگاه هواشناسی موجود در منطقه مقایسه گردید که نتایج جدول ۴، اختلاف کمتر از دو درجه را نشان می‌دهد. علت اصلی پایین بودن اختلاف بین

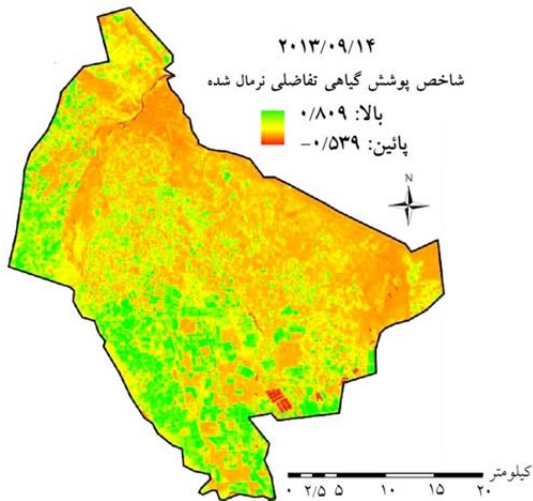
جدول ۴. نتایج دمای حاصله از سنجش از دور و دمای اندازه‌گیری شده در ایستگاه هواشناسی بر حسب درجه سانتیگراد

	۲۰۱۳/۰۹/۱۴	۲۰۱۳/۱۰/۱۶	۲۰۱۴/۰۱/۲۰	۲۰۱۴/۰۵/۲۸
سنجش از دور	۴۵/۴۳	۳۵/۲۴	۱۵/۰۴	۴۳/۱۵
ایستگاه هواشناسی	۴۴	۳۴/۲	۱۶/۸	۴۴/۸

شار گرمای محسوس (شکل ۷) و شار گرمای نهان تبخیر (شکل ۸) مربوط به تاریخ ۲۰۱۳/۰۹/۱۴ آورده شده است. همان گونه که در شکل‌های ۲ تا ۸ مشاهده می‌شود در نقاطی

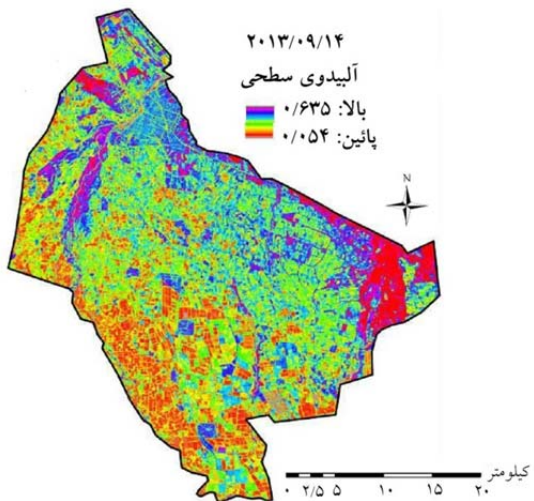
نقشه توزیع آلبیدوی سطحی (شکل ۲)، شاخص پوشش گیاهی تفاضلی نرمال شده (شکل ۳)، دمای سطح زمین (شکل ۴)، شار گرمای خالص (شکل ۵)، شار گرمای خاک (شکل ۶)،

خالص بیشتر می‌باشدند. از طرف دیگر تابش خالص، با آلبیدوی سطحی رابطه عکس دارد. این موضوع با معکوس شدن مقادیر حداقل و حداکثر در نقشه‌های دو پارامتر کاملاً مشخص است. شار گرمای خاک با میزان پوشش گیاهی نسبت عکس دارد این امر با معکوس شدن مقادیر حداقل و حداکثر در نقشه‌های دو پارامتر فوق مشخص است. به دلیل وجود رطوبت، در پوشش گیاهی شار گرمای نهان نیز در مناطقی که میزان پوشش گیاهی بالاتر است، بیشتر می‌باشد. در شکل‌های ۹ تا ۱۲ نقشه توزیع مقادیر تبخیر و تعرق ۲۴ ساعته برای هر چهار تصویر (شکل ۹، ۱۰، ۱۱، ۱۲؛ شکل ۱۰، ۱۱، ۱۲؛ شکل ۱۱، ۱۲؛ شکل ۱۲، ۱۳؛ شکل ۱۳، ۱۴) آمده است.

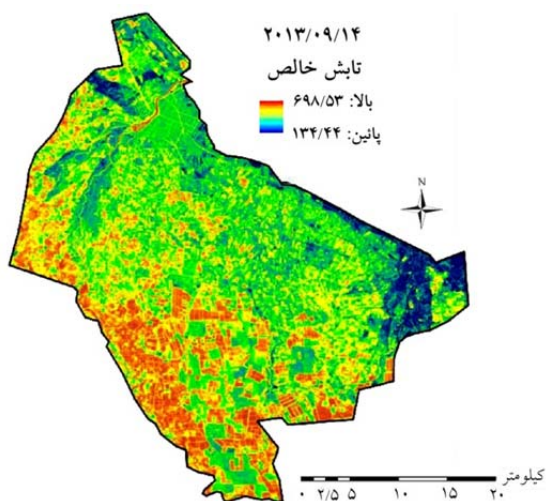


شکل ۳. نقشه توزیع شاخص پوشش گیاهی تفاضلی نرمال شده

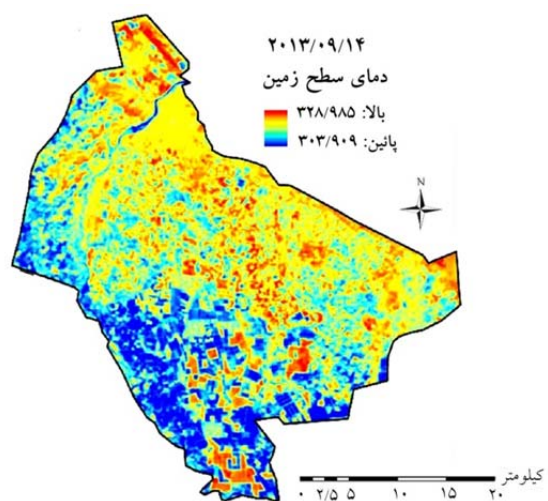
که میزان پوشش گیاهی بیشتر است، آلبیدوی سطحی به دلیل رنگ تیره‌تر این نقاط نسبت به زمین‌های بایر کمتر می‌باشد. از طرفی، با افزایش پوشش گیاهی سطح سایه‌اندازی برگ‌ها بر روی سطح زمین افزایش یافته و در نتیجه امکان رسیدن نور خورشید به سطح زمین با افزایش سطح سایه، کاهش یافته و بنابراین امکان گرم شدن سطح زمین کاهش می‌یابد. بنابراین در نقاطی که پوشش گیاهی متراکم‌تر است، دمای سطح زمین کمتر است. تابش خالص، با تابش طول موج بلند ورودی و تابش طول موج کوتاه ورودی رابطه مستقیم دارد. از آنجایی که این دو پارامتر با دمای سطحی رابطه مستقیم دارند در مناطقی که دمای سطحی بالاتری دارند، مقادیر تابش



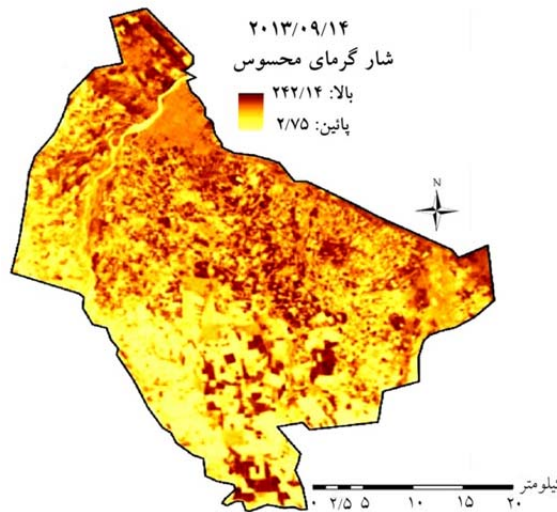
شکل ۲. نقشه توزیع مقادیر آلبیدوی سطحی



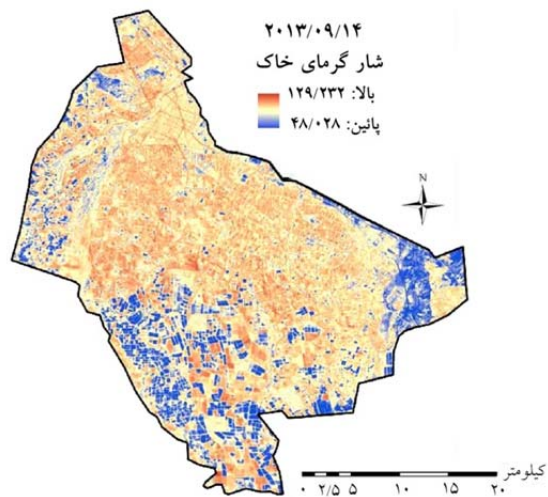
شکل ۵. نقشه توزیع تابش خالص



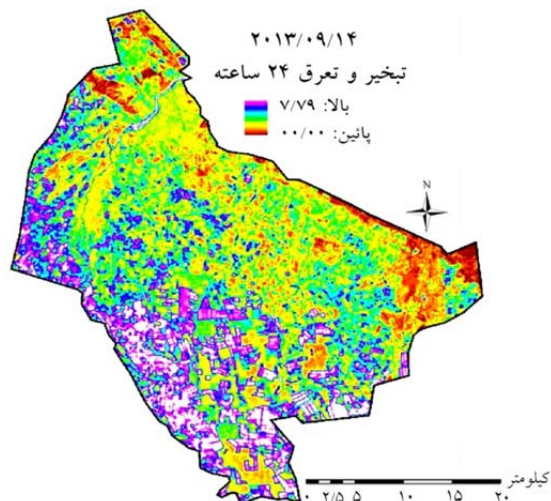
شکل ۶. نقشه توزیع دمای سطح زمین



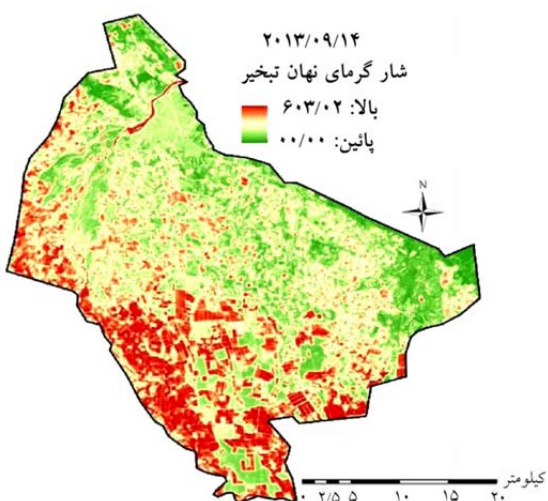
شکل ۷. نقشه توزیع شار گرمای محسوس



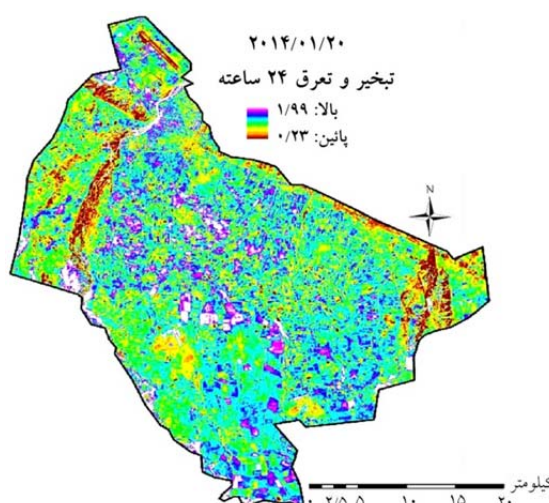
شکل ۶. نقشه توزیع شار گرمای خاک



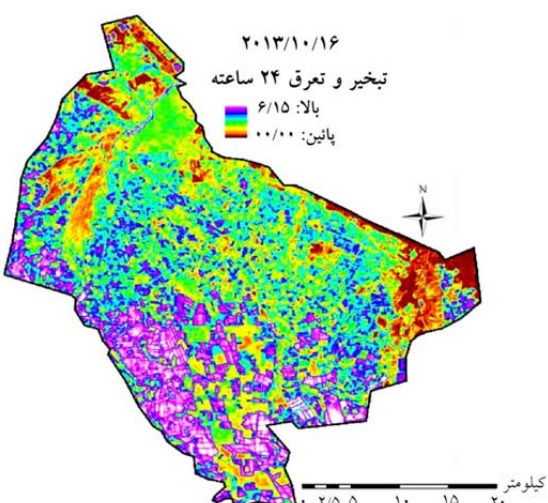
شکل ۹. نقشه توزیع تبخیر و تعرق ۲۴ ساعته



شکل ۸. نقشه توزیع شار گرمای نهان تبخیر



شکل ۱۱. نقشه توزیع تبخیر و تعرق ۲۴ ساعته



شکل ۱۰. نقشه توزیع تبخیر و تعرق ۲۴ ساعته

تائزانت سیگموید و لوگ سیگموئید است. الگوریتم‌های یادگیری مورد استفاده در شبکه نیز LM، BR، GDX، BFG و OSS می‌باشد.

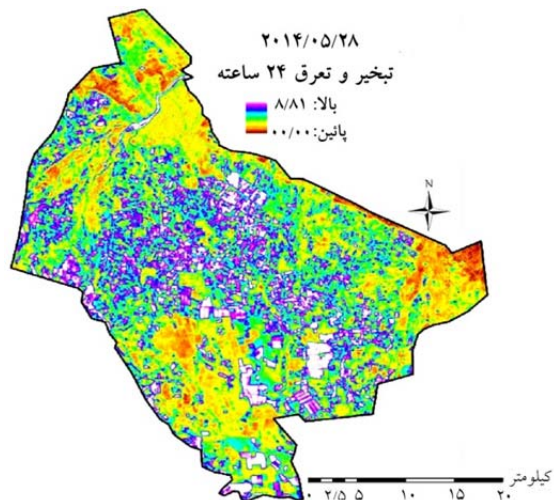
ضمناً درصد داده‌های اختصاص داده شده به داده‌های آموزشی، ارزیابی و تست به ترتیب ۷۰، ۱۵ و ۱۵٪ کل داده‌ها می‌باشد. لازم به ذکر است که ساختار شبکه بالا با توجه به مطالعات قبلی انجام شده در این زمینه، و نتایج حاصل از اجرای شبکه (با الگوریتم‌ها و توابع انتقال متفاوت) به روش سعی و خطا در طول فرآیند این تحقیق انتخاب گردید.

تعیین متغیرهای ورودی مدل

یکی از مهم‌ترین مراحل فرآیند توسعه مدل‌های شبکه عصبی مصنوعی، تعیین اهمیت متغیرهای ورودی می‌باشد. در این تحقیق برای بررسی اهمیت هر یک از پارامترهای ورودی، از ۱۵ مدل مختلف از ترکیبات ورودی‌های موجود استفاده شده است. در جدول ۵ مدل‌های ورودی ساخته شده بر اساس پارامترهای ورودی مؤثر ارائه شده است.

پس از تهیه مدل‌های ورودی در خصوص هر کدام از مدل‌ها شبکه‌ای از نوع پیش خور برای پیش‌بینی تهیه گردید است. در مرحله بعد انتخاب نرون‌های لایه پنهان بستگی به پیچیدگی تابع دارد، به نحوی که هر قدر تابع دارای نقاط عطف بیشتری باشد، باید تعداد نرون‌های لایه پنهان را بیشتر در نظر گرفت (۱۵).

تعداد مطلوب نرون‌های هر لایه از طریق آزمون و خطا صورت می‌پذیرد (۲۲). سپس در مرحله آموزش، ۷۰٪ داده‌ها به شبکه شناسایی و رابطه بین داده‌های ورودی و خروجی بررسی شد. نتایج استخراج شده مدل‌های ANN در مرحله تست به صورت ورودی‌های نرمال شده در جدول ۶ ارائه شده است.



شکل ۱۲. نقشه توزیع تبخیر و تعرق ۲۴ ساعته

استفاده از شبکه‌های عصبی مصنوعی

انتخاب ساختار شبکه در شبکه عصبی مصنوعی با روش سعی و خطا می‌باشد که طی آن با استفاده از ارقام مختلف لایه‌های پنهان و نرون‌های مربوط و همچنین افزایش ورودی‌ها به شبکه به صورت گام به گام می‌توان شبکه بهینه‌ای را ایجاد نمود (۷).

به منظور رسیدن به بهترین ساختار شبکه، پارامترها و شاخص‌های متعددی وجود دارد. این پارامترها شامل تعداد ورودی‌ها، تعداد لایه‌های مخفی، تعداد نرون‌های هر لایه، توابع انتقال بکار رفته در هر لایه، تغییر در مقدار درصد تقسیم‌بندی داده‌های آموزشی، ارزیابی و تست، تغییر در پارامتر نرخ یادگیری و تعداد تکرار (Epoch) می‌باشد (۱۶).

یکی از مهم‌ترین گام‌ها در پیشبرد رضایت بخشی مدل پیش‌بینی شبکه عصبی، انتخاب متغیرهای ورودی مناسب می‌باشد. به این منظور نیاز به ارزیابی عملکرد شبکه‌های عصبی با ورودی‌های مختلف می‌باشد. سعی بر این است که شبکه‌ای با کمترین خطا و بالاترین میزان همبستگی معرفی شود (۲۲). ساختار طراحی شده شبکه در این مطالعه یک شبکه پس انتشار می‌باشد (۲۳). توابع انتقال بکار رفته در این شبکه توابع

جدول ۵. مدل‌های ورودی ساخته شده بر اساس پارامترهای مؤثر

نام شبکه	پارامترهای بردار ورودی
ANN1	حداکثر دما + حداقل دما + حداکثر رطوبت + حداقل رطوبت + ساعت آفتاب + حداکثر سرعت باد
ANN2	حداکثر دما + حداقل دما + ساعت آفتاب + حداکثر سرعت باد
ANN3	حداکثر رطوبت + حداقل رطوبت + ساعت آفتاب + حداکثر سرعت باد
ANN4	حداکثر دما + حداقل دما + حداکثر رطوبت + حداقل رطوبت
ANN5	حداکثر دما + حداقل رطوبت + ساعت آفتاب
ANN6	حداقل رطوبت + ساعت آفتاب + حداکثر سرعت باد
ANN7	حداکثر رطوبت + ساعت آفتاب
ANN8	ساعت آفتاب + حداکثر سرعت باد
ANN9	حداکثر دما + حداقل دما
ANN10	حداکثر رطوبت + حداقل رطوبت
ANN11	حداکثر دما + حداکثر سرعت باد
ANN12	حداقل رطوبت + حداکثر سرعت باد
ANN13	حداقل دما
ANN14	ساعت آفتاب
ANN15	حداکثر سرعت باد

جدول ۶. مقایسه نتایج شبکه‌های طراحی شده بر مبنای پارامترهای ورودی

ANN	MSE	MAE	R ²
ANN1	۰/۰۰۳	۰/۰۴۲	۰/۹۵۷
ANN2	۰/۰۰۳	۰/۰۴۵	۰/۹۵۲
ANN3	۰/۰۰۶	۰/۰۵۸	۰/۹۲۴
ANN4	۰/۰۰۴	۰/۰۴۸	۰/۹۴۴
ANN5	۰/۰۰۴	۰/۰۴۹	۰/۹۴۹
ANN6	۰/۰۰۷	۰/۰۶۶	۰/۸۹۶
ANN7	۰/۰۰۷	۰/۰۶۵	۰/۸۹۴
ANN8	۰/۰۱۶	۰/۰۹۷	۰/۷۷۲
ANN9	۰/۰۰۵	۰/۰۵۳	۰/۹۲۷
ANN10	۰/۰۰۷	۰/۰۶۵	۰/۸۹۵
ANN11	۰/۰۰۴	۰/۰۴۸	۰/۹۴۴
ANN12	۰/۰۰۸	۰/۰۶۹	۰/۸۷۸
ANN13	۰/۰۰۸	۰/۰۷۱	۰/۸۶۹
ANN14	۰/۰۱۹	۰/۱۰۸	۰/۶۸۶
ANN15	۰/۰۳۲	۰/۱۵۳	۰/۳۱۰

نظر با استفاده از روش سبال، معادله پنمن- مانیث- فائو (پس از ضرب مقدار به دست آمده در ضرب گیاهی مرکبات) و نتایج حاصل از شبکه‌های عصبی (پس از ضرب مقدار به دست آمده در ضرب تشت و ضرب گیاهی مرکبات) در جدول ۷ آمده است.

بر اساس سعی و خطای صورت گرفته در این تحقیق بهترین مدل برای شبیه‌سازی استفاده از شبکه پرسپترونی با یک لایه میانی با ۲۸ نرون در لایه مخفی و استفاده ازتابع لوگ سیگموئید به عنوان تابع فعالیت می‌باشد. میزان تبخیر و تعرق واقعی برآورد شده (بر حسب میلی‌متر در روز)، در باغ مورد

جدول ۷. مقادیر تبخیر و تعرق برآورده شده

	تبخیر و تعرق برآورده شده	۲۰۱۳/۰۹/۱۴	۲۰۱۳/۱۰/۱۶	۲۰۱۴/۰۱/۲۰	۲۰۱۴/۰۵/۲۸
معادله پنمن- مانیث- فائو	۴/۹۴	۳/۵۷	۱/۸۲	۷/۲۱	
الگوریتم سبال	۴/۰۴	۲/۹۴	۱/۳۸	۵/۰۳	
شبکه‌های عصبی مصنوعی	۵/۸۲	۳/۴۳	۱/۳۴	۶/۶۳	

کاملاً خشک بوده است). با مقایسه مقادیر حاصل از دو روش سبال و روش پنمن- مانیث- فائو و بررسی میزان شباهت مقادیر حاصل از الگوریتم سبال با نتایج روش پنمن- مانیث- فائو، نتایج نشان دهنده مقادیر MSE و MAE به ترتیب ۱/۵۴ و ۱/۰۴ می‌باشد. مقدار نسبتاً پایین دو پارامتر MAE و MSE نشان دهنده نزدیکی نتایج به دست آمده از سنچش از دور به نتایج پنمن- مانیث- فائو بوده و لذا می‌توان چنین گفت که سنچش از دور روشنی کارا به منظور برآورد میزان تبخیر و تعرق در سطوح وسیع، خصوصاً در مناطقی که داده‌های هواسناسی برای آنها موجود نیست، می‌باشد. با توجه به نتایج به دست آمده از آموزش شبکه عصبی مصنوعی در ساختارهای مختلف و ورودی‌های متفاوت در برآورد میزان تبخیر، پارامتر دما بیشترین تأثیر و پارامتر حداقل سرعت باد کمترین تأثیر را دارد. نتایج حاصل از اجرای مدل‌های مختلف شبکه‌های عصبی مصنوعی نشان داد که پارامتر دما به تنهایی حدود ۷/۹۲٪ از میزان تغییرات تبخیر از تشت را توجیه می‌کند. این میزان برای پارامترهای رطوبت، ساعت آفتاب و حداقل سرعت باد به ترتیب ۵/۸۹٪، ۶/۶٪ و ۳۱٪ می‌باشد. در مقایسه نتایج به دست آمده، از شبکه‌های عصبی مصنوعی با روش پنمن- مانیث- فائو در برآورد میزان تبخیر و تعرق، مقادیر میانگین مربعات خطای و میانگین خطای مطلق به ترتیب

بحث و نتیجه گیری

در این تحقیق به منظور محاسبه میزان تبخیر و تعرق از تصاویر ماهواره‌ای (الگوریتم سبال) و شبکه‌های عصبی مصنوعی استفاده شد. در ادامه و به منظور بررسی صحت اجرای دو روش فوق و بررسی میزان صحت نتایج به دست آمده از دو روش، میزان تبخیر و تعرق با روش پنمن- مانیث- فائو به عنوان یک روش مرجع محاسبه شده و مقادیر عددی حاصل از دو روش با روش پنمن- مانیث- فائو مقایسه گردید. پس از بررسی نتایج به دست آمده از الگوریتم سبال می‌توان مشاهده نمود که مطابق انتظار، بیشترین مقدار تبخیر و تعرق مربوط به محل گذر رودخانه‌ها و نهرها و همچنین مناطقی با مقادیر NDVI بالا می‌باشد. به طوری که با کاهش NDVI مقدار تبخیر و تعرق نیز کاهش می‌یابد. ضمناً نتایج بیانگر همخوانی مقادیر تبخیر و تعرق با دمای سطح زمین و دمای هوا و همچنین تغییرات آنها می‌باشد. با بررسی مقادیر عددی تبخیر و تعرق در زمین‌های بایر همان گونه که انتظار می‌رفت، میزان تبخیر و تعرق در ۲۴ ساعته در این زمین‌ها، صفر می‌باشد. البته در تاریخ ۲۰۱۴/۰۱/۲۰ کمی از صفر بالاتر می‌باشد که علت اصلی آن خیس بودن زمین و جمع شدن آب در زمین‌های مسطح منطقه می‌باشد (به دلیل بارندگی سنگین در روزهای قبل از تصویربرداری) (در تاریخ‌های دیگر زمین

- نتایج مدل ریاضی تفاضلات محدود. پایان نامه کارشناسی ارشد هیدروژئولوژی، دانشکده علوم زمین، دانشگاه شهید چمران اهواز. ۱۳۴ صفحه.
۸. شهرابی‌فر، م.، م. عصاری، م. کوچک‌زاده و س. م. میرلطافی. ۱۳۸۹. ارزیابی برخی از روش‌های محاسباتی تبخیر- تعریق گیاه مرجع چمن با استفاده از داده‌های لایسیمتری در شرایط گلخانه‌ای. پژوهش آب در کشاورزی، ۲۴(۱): ۱۳-۱۹.
۹. عبدالی، ح.، س. اسلامیان و ج. عابدی کوهپایی. ۱۳۸۹. استفاده از تصاویر ماهواره‌ای لندست ۷ و مودیس برای برآورد تبخیر و تعریق از طریق سنجش از دور در مدیریت آبیاری. سومین همایش ملی مدیریت شبکه‌های آبیاری و زهکشی، دانشگاه شهید چمران اهواز، دانشکده مهندسی علوم آب. ۱ الی ۲ اسفند ماه.
۱۰. قبادیان، ر. ۱۳۸۸. ارزیابی دقت روش شبکه‌های عصبی مصنوعی و معادلات تجربی در محاسبه تبخیر و تعریق پتانسیل در کرمانشاه. دهمین سمینار سراسری آبیاری و کاهش تبخیر. کرمان، ۱۹ الی ۲۱ بهمن ماه.
۱۱. قمری‌نیا، ه.، و. رضوانی، گ. مهدی‌آبادی و س. م. غلامیان. ۱۳۸۹. محاسبه تبخیر و تعریق گیاه با استفاده از روش سیال در دشت بیلوار کرمانشاه. سومین همایش ملی مدیریت شبکه‌های آبیاری و زهکشی، دانشگاه شهید چمران اهواز، دانشکده مهندسی علوم آب. ۱ الی ۲ اسفند ماه.
۱۲. کریمی، ع. ر.، ب. فرهادی بانسوله و ه. حصادی. ۱۳۹۱. برآورد تبخیر و تعریق واقعی در مقیاس منطقه‌ای با استفاده از الگوریتم سیال و تصاویر لندست. مجله آبیاری و زهکشی ایران، ۶(۴): ۳۵۳-۳۶۴.
۱۳. گنجی‌زاده، ر. ۱۳۹۲. ارزیابی مقدار تبخیر و تعریق با استفاده از سنجش از دور و مقایسه آن با روش تجربی (مطالعه موردي: دشت بیرون). چهارمین همایش ملی مدیریت شبکه‌های آبیاری و زهکشی. دانشگاه شهید چمران اهواز، دانشکده مهندسی علوم آب. ۶ الی ۸ اسفند ماه.
۱۴. محسنی ساروی، م.، ح. احمدی و ک. نصرتی. ۱۳۸۹. کاربرد مدل SEBAL در برآورد تبخیر و تعریق در حوزه آبخیز طالقان. اولین کنفرانس بین‌المللی مدلسازی گیاه، آب، خاک و هوا. مرکز بین‌المللی علوم و تکنولوژی پیشرفته و علوم محیطی، کرمان، ۲۳ الی ۲۴ آبان ماه.

برابر با ۱/۱۱ و ۰/۵۲ می‌باشد. با مقایسه نتایج به دست آمده از دو روش سیال و شبکه‌های عصبی مصنوعی می‌توان گفت، شبکه‌های عصبی مصنوعی عملکرد بهتری در برآورد تبخیر و تعریق نسبت به روش سیال دارند.

منابع مورد استفاده

۱. اصغرزاده، ح. ع. و ح. ثانی نژاد. ۱۳۸۵. تخمین تبخیر - تعریق گیاهان با استفاده از داده‌های سنجش از دور (RS) و سیستم اطلاعات جغرافیایی (GIS) در حوضه آبخیز تنگ کشت کرمانشاه. اولین همایش ملی مدیریت شبکه‌های آبیاری و زهکشی، دانشگاه شهید چمران اهواز، دانشکده مهندسی علوم آب. ۱۲ الی ۱۴ اردیبهشت ماه.
۲. امیدی، ر. و ف. رادمنش. ۱۳۹۲. برآورد تبخیر و تعریق مرجع با استفاده از شبکه عصبی مصنوعی. چهارمین همایش ملی مدیریت شبکه‌های آبیاری و زهکشی. دانشگاه شهید چمران اهواز، دانشکده مهندسی علوم آب. ۶ الی ۸ اسفند ماه.
۳. امینی بازیانی، س.، م. اکبری و ح. زارع ابیانه. ۱۳۹۱. برآورد تعریق با استفاده از الگوریتم سیال مطالعه موردي: دشت همدان بهار. اولین همایش ملی حفاظت و برنامه ریزی محیط زیست. دانشگاه آزاد اسلامی واحد همدان. ۳ اسفند ماه.
۴. بیات ورکشی، م.، ح. زارع ابیانه و ع. قاسمی. ۱۳۸۷. ارزیابی روش‌های مختلف تبخیر و تعریق گیاه مرجع با استفاده از روش پنمن- مانثیت- فائو ۵۶ دومین همایش ملی مدیریت شبکه‌های آبیاری و زهکشی. دانشگاه شهید چمران اهواز، دانشکده مهندسی علوم آب. ۱ بهمن ماه.
۵. ثانی نژاد، ح.، س. نوری و م. هاشمی‌نیا. ۱۳۹۰. برآورد تبخیر و تعریق واقعی با استفاده از تصاویر ماهواره‌ای در منطقه مشهد. آب و خاک، ۲۵(۳): ۵۴۰-۵۴۷.
۶. حسن‌پور، ب.، ف. میرزاکی، ص. ارشد و س. ف. ریاضی. ۱۳۸۹. برآورد تبخیر و تعریق توسط الگوریتم بیلان انرژی سطح زمین. سومین همایش ملی مدیریت شبکه‌های آبیاری و زهکشی، دانشگاه شهید چمران اهواز، دانشکده مهندسی علوم آب. ۱ الی ۲ اسفند ماه.
۷. رحمانی، غ. ر. ۱۳۹۰. شبیه‌سازی منابع آب زیرزمینی دشت عقیلی با استفاده از شبکه عصبی مصنوعی و مقایسه آن با

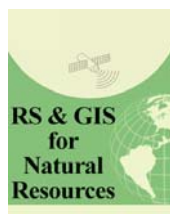
- Implementation, version, 1: 97.
20. Bastiaanssen W, Noordman E, Pelgrum H, Davids G, Thoreson B, Allen R. 2005. SEBAL model with remotely sensed data to improve water-resources management under actual field conditions. *Journal of Irrigation and Drainage Engineering*, 131(1): 85-93.
 21. Compaoré H, Hendrickx JM, Hong S-h, Friesen J, van de Giesen NC, Rodgers C, Szarzynski J, Vlek PL. 2008. Evaporation mapping at two scales using optical imagery in the White Volta Basin, Upper East Ghana. *Physics and Chemistry of the Earth, Parts A/B/C*, 33(1): 127-140.
 22. Kişi Ö, Öztürk Ö. 2007. Adaptive neurofuzzy computing technique for evapotranspiration estimation. *Journal of Irrigation and Drainage Engineering*, 133(4): 368-379.
 23. Laaboudi A, Mouhouche B, Draoui B. 2012. Neural network approach to reference evapotranspiration modeling from limited climatic data in arid regions. *International Journal of Biometeorology*, 56(5): 831-841.
 15. نیاز علیزاده مقدم، ع. ۱۳۸۶. پیش‌بینی عددی ماکسیمم دمای فرودگاه شهید بهشتی اصفهان با استفاده از شبکه‌های عصبی مصنوعی. پایان‌نامه دوره کارشناسی رشته کامپیوتر، دانشگاه آزاد اسلامی واحد خوراسگان. ۱۰۹ صفحه.
 16. هژبر، ح. ۱۳۹۱. مقایسه تبخیر و تعرق پتانسیل با روش پنمن - ماننتیث اصلاح شده، مدل‌سازی شبکه عصبی مصنوعی و سیستم فازی با داده‌های لایسیمتری. پایان‌نامه کارشناسی ارشد، دانشکده مهندسی علوم آب، دانشگاه شهید چمران اهواز. ۹۹ صفحه.
 17. وزیری، ژ. و ع. سلامت. ۱۳۸۷. تبخیر و تعرق گیاهان، کمیته آبیاری و زهکشی ایران، تهران. ۳۸۹ صفحه.
 18. Allen R, Irmak A, Trezza R, Hendrickx JM, Bastiaanssen W, Kjaergaard J. 2011. Satellite-based ET estimation in agriculture using SEBAL and METRIC. *Hydrological Processes*, 25(26): 4011-4027.
 19. Allen R, Tasumi M, Trezza R, Waters R, Bastiaanssen W. 2002. SEBAL (Surface Energy Balance Algorithms for Land). Advance Training and Users Manual—Idaho



RS & GIS for Natural Resources (Vol. 6/ Issue 4) winter 2016

Indexed by ISC, SID, Magiran and Noormags

<http://girs.iaubushehr.ac.ir>



Estimating of evapotranspiration using remote sensing, artificial neural network and comparison with the experimental method (Penman-Monteith-FAO)

A. Azimi^{1*}, K. Rangzan², M. Kaboulizade³, M. Khoramian⁴

1. MSc. student of Remote sensing and Geographic Information System, Shahid Chamran University of Ahvaz

2. Assoc. Prof. College of Earth Sciences, Shahid Chamran University of Ahvaz

3. Assis. Prof. College of Earth Sciences, Shahid Chamran University of Ahvaz

4. PhD. of Irrigation, Sariabad Agricultural Research Center of Dezful

ARTICLE INFO

Article history:

Received 16 November 2014

Accepted 20 June 2015

Available online 16 January 2016

Keywords:

Evapotranspiration

Remote sensing

SEBAL algorithm

Artificial neural networks (ANN)

Penman-Monteith- FAO equation

ABSTRACT

Evaporation waste of water is one of the most important factors. Because evapotranspiration is a complex phenomenon that depends on many factors and data, accurate estimation of evaporation and transpiration, is very difficult and costly. Therefore, the purpose of this study was to estimate evapotranspiration using the surface energy balance algorithm for land (SEBAL) and also evaluate the performance of artificial neural networks. To estimates the Evapotranspiration rate the method of SEBAL Algorithmby using satellite images was applied. For this purpose, four images of Landsat 8 in this study were used that by comparing the results from the two methods, Remote Sensing and Penman-Monteith-FAO equation presented MSE and MAE as respectively 1.54 and 1.04 per day. To solve the complexity of the evaporation process, Artificial Neural Networks (ANN) was used for forecasting evaporation pan based on meteorological data. Perceptron with Back-propagation algorithm was applied for training it in this study. It used daily climate data that collected during 13 years from a Safi Abad station in Dezful city for network training. The results showed that the best network was the network with all inputs along with a hidden layer and 28 Neurons in the middle layer. The implementation results of this network presented that statistical Indicators were as MSE (0.0032), MAE (0.0445), R^2 (0.9609). Comparing the results from Artificial Neural Networks and Penman-Monteith-FAO as reference method showed that MSE and MAE were 1.11 and 0.52 mm per day, respectively. These results presents that the performance of Artificial Neural Networks was better than the remote sensing method in the estimation of evapotranspiration rate.

* Corresponding author e-mail address: fdai5050@gmail.com